

ПЕРЕДАЧА-ПРИЕМ ДИСКРЕТНОЙ ИНФОРМАЦИИ С ЗАЩИТОЙ ОТ НЕСАНКЦИОНИРОВАННОГО ДОСТУПА

Предложена относительно простая и эффективная система передачи дискретной информации, основанная на использовании операции измерения многомерной функции распределения вероятностей модулированной несущей, то есть на выявлении признака зависимые – независимые отсчеты несущей, обеспечивающая конфиденциальность передачи и оптимальный прием широкополосных сигналов.

Приведены структурные схемы и результаты экспериментального исследования модема, подтверждающие его реализуемость и эффективность.

Ключевые слова: дискретная информация, конфиденциальная передача-прием, многомерная функция распределения вероятностей, оптимальный прием, широкополосные сигналы.

Введение

Для построения цифровых и аналоговых систем связи с защитой от несанкционированного доступа часто используются широкополосные сигналы [1]. Широкая полоса частот несущих сигналов используется как для повышения скорости передачи информации, так и для повышения устойчивости работы систем в условиях внешних помех. Известен класс широкополосных сигналов, называемых сигналами с расширением спектра, где полоса частот передаваемого сигнала может быть значительно шире полосы частот информационного сигнала. Достоинствами сигналов с расширением спектра являются:

- допустимость работы при малых отношениях сигнал-шум, как результат расширения информационного сигнала на большую полосу частот;
- устойчивость к селективному замиранию при многолучевом распространении сигнала;
- распределение сигнала по большой частотной полосе, вследствие чего передаваемая спектральная мощность сигнала мала и он слабо влияет на другие сигналы;
- расширение информационного сигнала на широкую передаваемую полосу и сжатие его в приемнике обеспечивает устойчивость приема при интерференции со стороны других сигналов [2].

Использование случайных сигналов в качестве расширяющих придает системам связи устойчивость по отношению к селективному замиранию и узкополосным скачкам, низкую вероятность перехвата, устраняет проблемы конфиденциальности и синхронизации. Потенциальные достоинства случайных сигналов не ограничиваются возможностью их применения в системах с расширением спектра. Они могут быть использованы также для маскировки передаваемой информации без расширения спектра, т.е. при совпадении полосы частот информационного и передаваемого сигналов, и для высокоскоростной передачи данных.

Целью настоящей работы является обоснование возможности существенного удешевления и упрощения системы передачи дискретной информации, при обеспечении оптимального ее приема по любому из известных статистических критериев обнаружения [3], а также обеспечение способности противостоять обнаружению и измерению параметров.

Основная часть

В работе [4] показано, что коэффициент независимости отсчетов случайного процесса

$$C^m(nT) = \frac{F^m \{x_1, nT - \tau_1; x_2, nT - 2\tau; \dots; x_m, nT - m\tau\}}{\prod_{i=1}^m F \{x_i, nT - i\tau\}}, \quad (1)$$

где: $F^m \{x_1, nT - \tau_1; x_2, nT - 2\tau; \dots; x_m, nT - \tau_m\}$ - m -мерная функция распределения вероятностей случайного процесса; $F \{x_i, nT - i\tau\}$, $i = \overline{1, m}$ - одномерные функции распределения вероятностей, совпадает с оценкой отношения правдоподобия для случая проверки простой гипотезы, заключающейся в том, что наблюдаемые отсчеты случайного процесса **зависимы** против простой альтернативы, что эти отсчеты **независимы**. Там же приведены результаты измерений коэффициента независимости для произвольно распределенных случайных процессов. Из этих результатов следует, что изменяя коэффициент связи между отсчетами случайного процесса можно передавать информационные сигналы, обеспечивая их **оптимальный** прием путем измерения величины коэффициента независимости $C^m(nT)$.

По аналогии с предложенным в [4] алгоритмом формирования **зависимых** отсчетов для реализации модуляции может быть использован итерационный алгоритм вида

$$U(nT) = N(nT) + K \cdot S(nT) \cdot N[(n-1)T], \quad n = 0, 1, 2, \dots, \quad (2)$$

где: $N(nT)$, $n = 0, 1, 2, \dots$ - последовательность независимых отсчетов произвольно распределенного случайного процесса; $S(nT)$ - модулирующий сигнал; K - коэффициент связи между отсчетами; T - период следования отсчетов.

Структурная схема модулятора, реализующего алгоритм (2), показана на рис. 1.

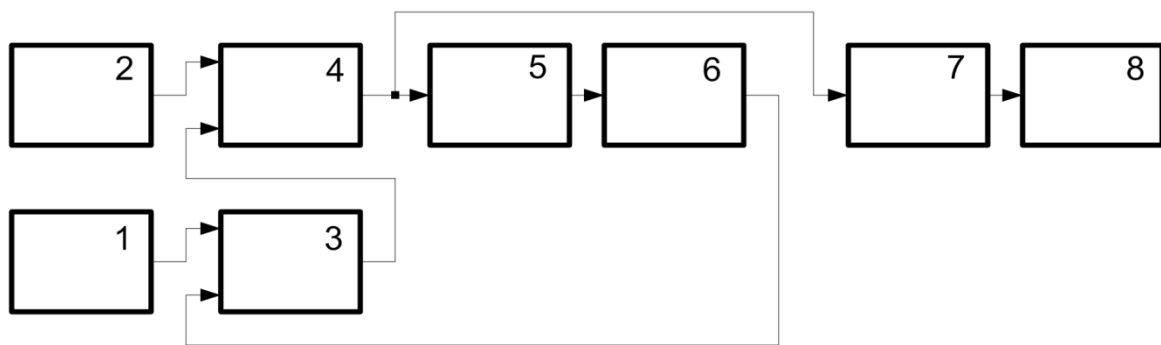


Рис. 1. Модулятор сигнала передачи

Входной информационный сигнал $S(nt)$, представляющий собой, например, последовательность прямоугольных импульсов подается от источника 1 информации на коммутатор 3 и разрешает прохождение через него сигнала с измененной функцией распределения вероятностей (с зависимыми отсчетами) в течение времени существования импульсов. В остальное время коммутатор 3 сигнал не пропускает. Сигнал, снимаемый с выхода коммутатора суммируется с помощью сумматора 4 с широкополосной несущей $N(nt)$, вырабатываемой формирователем 2. Несущая $N(nt)$, $n = 1, 2, \dots$ представляет собой дискретизированный случайный процесс с произвольной функцией распределения вероятностей (с независимыми отсчетами). Смесь сигналов, снимаемая с выхода сумматора 4 изменяется по амплитуде с помощью регулятора 5 уровня. При этом коэффициент K регулирования выбирается меньшим единицы ($K < 1$). Коэффициент K определяет степень связи между отсчетами и в итоге уровень конфиденциальности передаваемого сообщения. Далее сигнал $KN(nt)$ задерживается на время τ , кратное периоду дискретизации несущей (в простейшем случае равному периоду дискретизации) с помощью элемента 6 задержки.

Замкнутая цепь, состоящая из элементов 3-6 и представляет собой собственно модулятор. Выходом модулятора является выход сумматора 4, на котором формируются сигналы

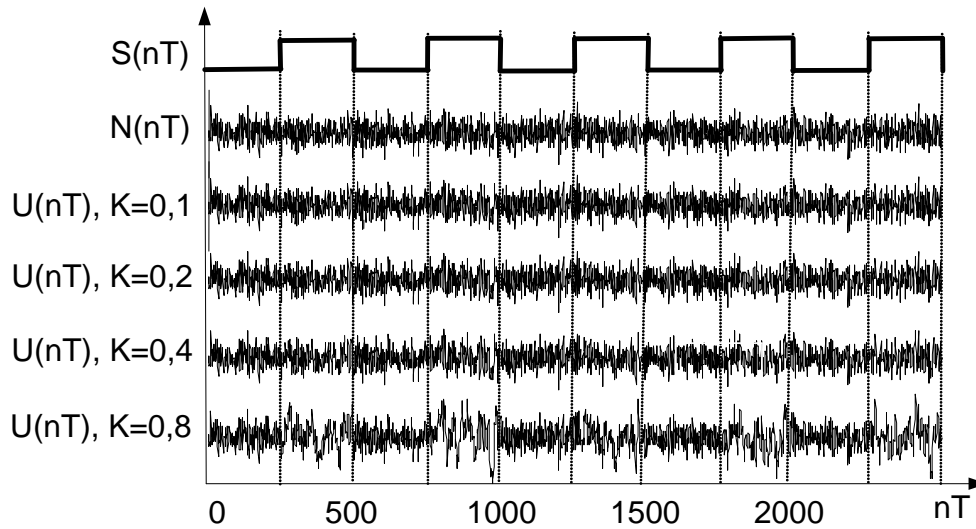


Рис. 2 Модуляция случайного процесса прямоугольными импульсами

$$U(nt) = \begin{cases} N(nt) + KN(nt - \tau) + K^2N(nt - 2\tau) + \dots + K^mN(nt - m\tau), & \text{при } S(nt) = 1, \\ N(nt), & \text{при } S(nt) = 0. \end{cases} \quad (3)$$

Здесь $S(nt) = 1$ означает наличие информационного импульса, а $S(nt) = 0$ - его отсутствие, $m = 0, 1, 2, \dots$. Таким образом информационным параметром модуляции является признак зависимости или независимости отсчетов. На рис.2 показаны временные диаграммы модулированных меандром сигналов при разных значениях коэффициента K .

Из диаграмм видно, что при модуляции со значениями $K > 0,4$ еще можно обнаружить информационный сигнал. Поэтому с выхода сумматора 4 сигнал подается на усилитель 7, где он нормируется по дисперсии. Так как отсчеты несущей $N(nt)$ независимы, имеют нулевое математическое ожидание и дисперсию σ^2 , то на выходе модулятора (сумматора 4) получим такие математическое ожидание M_1 и дисперсию M_2 :

$$\begin{aligned} M_1 \{U(nt)\} &= 0, \\ M_2 \{U(nt)\} &= 1 + K^2 + K^4 + \dots + K^{2m} = \frac{1 - K^{2(m+1)}}{1 - K^2}. \end{aligned} \quad (4)$$

Это позволяет пронормировать модулированный сигнал по дисперсии на интервале времени действия информационных импульсов. Легко увидеть, что при $K < 1$ и $m > 10$ (что целесообразно выбирать) член $K^{2(m+1)} \ll 1$, поэтому нормирование по дисперсии заключается в умножении модулированного сигнала на величину $\sqrt{1 - K^2}$ на интервале времени действия импульсов с помощью усилителя 7.

На временных диаграммах рис.3 показан результат модуляции случайного процесса последовательностью прямоугольных импульсов с последующим нормированием по дисперсии.

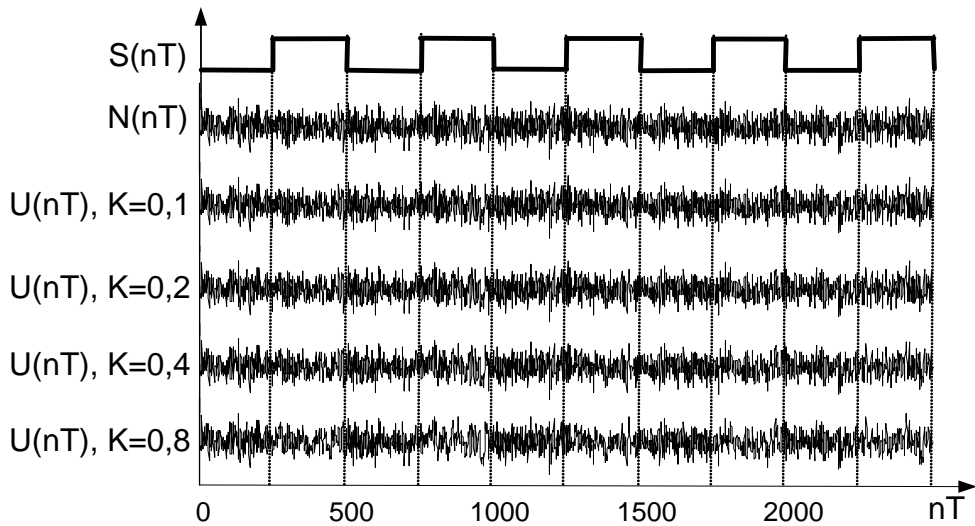


Рис. 3 Модуляция случайного процесса прямоугольными импульсами с нормированием по дисперсии

Видно, что нормирование по дисперсии выходного сигнала модулятора приводит к тому, что обнаружить модуляцию сигнала становится практически невозможно даже при больших значениях коэффициента связи K между отсчетами. Сформированный сигнал далее передается в канал передачи 8.

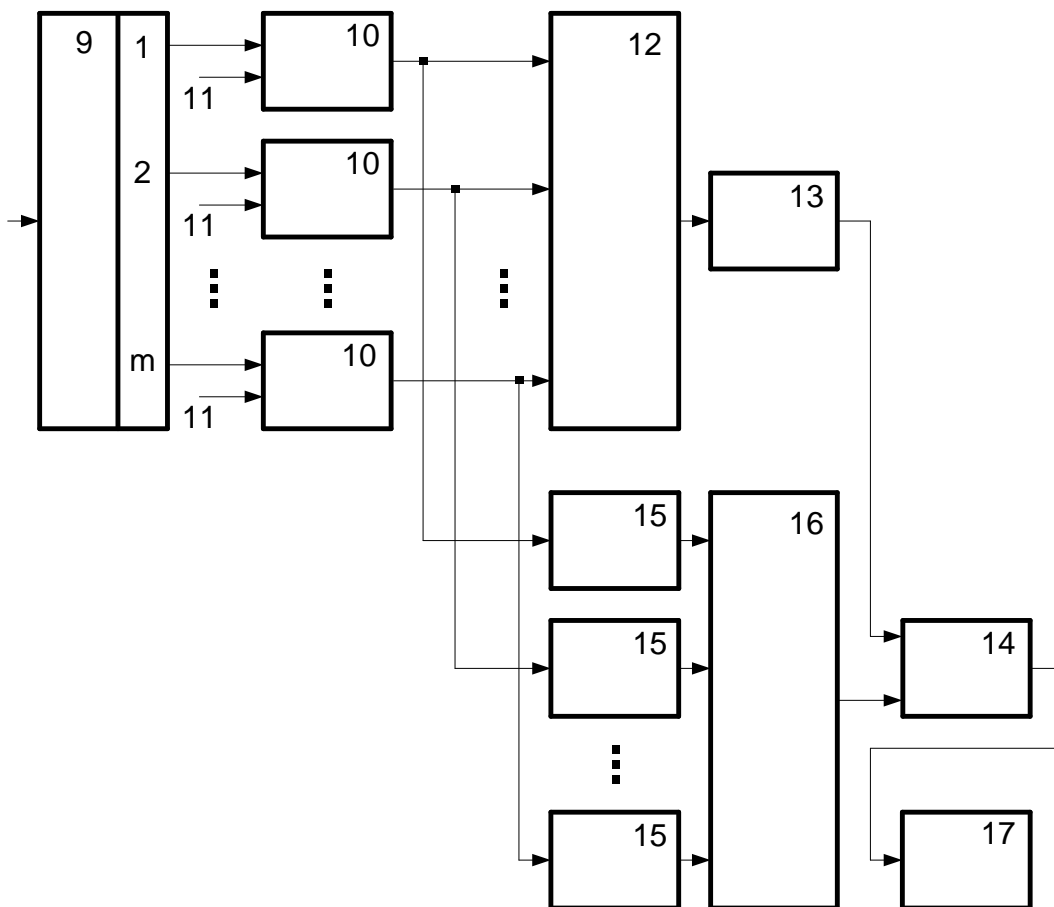


Рис. 4 Структурная схема демодулятора принятого сигнала

В качестве демодулятора модулированных сигналов может быть использовано устройство для измерения коэффициента независимости отсчетов случайного процесса [4]. Это устройство дает оценку отношения правдоподобия для случая проверки простой гипотезы о том, что наблюдаемые отсчеты случайного процесса *зависимы* против простой альтернативы, заключающейся в том, что эти отсчеты – *независимы*. Структурная схема демодулятора модулированной описанным выше образом шумовой несущей показана на рис.4.

Прошедший по каналу 8 передачи информации модулированный сигнал $U^D(nt)$ поступает на вход элемента 9 задержки с m выходами. Задержанные на разное время сигналы $U^D(nT - m\tau)$, квантуются по уровню с помощью пороговых элементов 10 в соответствии с правилом

$$U^D(nT - m\tau) = \begin{cases} 1 & \text{при } U^D(nT - m\tau) \leq x_m \\ 0 & \text{при } U^D(nT - m\tau) > x_m \end{cases} \quad (5)$$

То есть, если мгновенные значения принятых задержанных сигналов меньше мгновенных значений пороговых напряжений, задаваемых с помощью шин 11, то на выходе пороговых элементов 10 вырабатывается высокий уровень сигнала, в противном случае – низкий уровень. Квантованные сигналы, снимаемые с выходов пороговых элементов 10 поступают на многоходовый элемент совпадения 12, который формирует сигнал

$$U^{Dm}(x_1, nT - \tau; x_2, nT - 2\tau; \dots; x_m, nT - m\tau) = \bigcap_{i=1}^m U^D(x_m, nT - i\tau). \quad (6)$$

Этот сигнал поступает на t - текущий интегратор 13, с помощью которого формируется m - мерная оценка функции распределения вероятностей $F^{m*}(x_1, nT - \tau; x_2, nT - 2\tau; \dots; x_m, nT - m\tau)$ для задержанных сигналов $U^D(nT - m\tau)$ [5]. Принцип работы t - текущего интегратора описан, например, в [6].

Полученный сигнал оценки m -мерной функции распределения вероятностей подается на один из входов двухвходового делителя 14. Одновременно сигналы, снимаемые с выходов пороговых элементов 10 подаются на входы t - текущих интеграторов 15. Эти интеграторы формируют оценки $F^*(x_m, nT - m\tau)$ одномерных функций распределения вероятностей сигналов $U^D(nT - m\tau)$. Полученные сигналы оценок $F^*(x_m, nT - m\tau)$ перемножаются с помощью m -входового перемножителя 16, в результате чего вырабатывается произведение

$$\prod_{i=1}^m F^*(x_i, nT - i\tau), \quad (5)$$

которое поступает на другой вход делителя 14. На выходе этого делителя вырабатывается сигнал, величина которого отображает оценку коэффициента связи отсчетов $U^D(nT - m\tau)$ принятого сигнала, т.е.

$$C^{m*}(nT) = \frac{F^{m*}\{x_1, nT - \tau; x_2, nT - 2\tau; \dots; x_m, nT - m\tau\}}{\prod_{i=1}^m F^*\{x_i, nT - i\tau\}}. \quad (6)$$

Этот сигнал и поступает в приемник информации 17.

На фиг.5 показаны временные диаграммы, поясняющие процесс демодуляции принятого сигнала.

При этом, несмотря на отсутствие каких-либо признаков информационного сигнала в широкополосной несущей, демодулятор уверенно его обнаруживает, реализуя алгоритм *оптимального приема* [3].

При проведении эксперимента постоянная накопления t - текущих интеграторов была выбрана равной 3000, а коэффициент связи между отсчетами $K = 0,6$.

Выводы

1. Предложена относительно простая и эффективная система передачи дискретной информации, основанная на использовании операции измерения многомерной функции распределения вероятностей модулированной несущей, т.е. выявлении признака зависимые – независимые отсчеты несущей, обеспечивающая конфиденциальность передачи и оптимальный прием широкополосных сигналов.

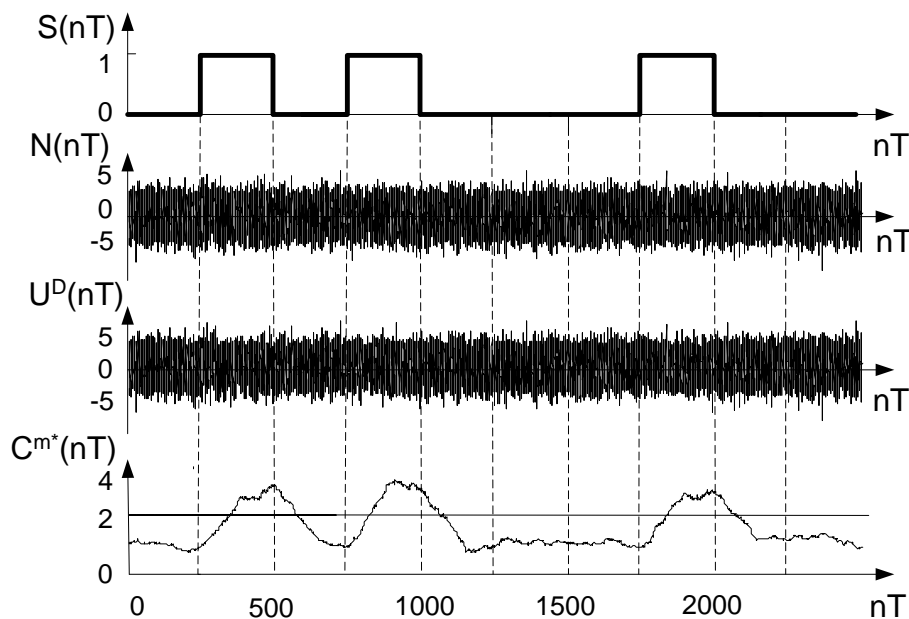


Рис. 5 Демодуляция принятого сигнала

2. Приведены результаты экспериментального исследования модема типа стохастический модулятор – оптимальный приемник, подтверждающие его практическую реализуемость, эффективность, и способность противостоять обнаружению.

Литература

1. Варакин Л.Е. Системы связи с шумоподобными сигналами. - М.: Радио и связь, 1985.-384 с.
2. Дмитриев А.С., Панас А.И., Старков С.О. Динамический хаос как парадигма современных систем связи // Зарубежная радиоэлектроника, 1997, №10, с.4-26.
3. Левин Б.Р. Теоретические основы статистической радиотехники. Кн.2.- М.: Сов. радио.- 1968.- 552 с.
4. Брягин О.В., Егоров А.К., Розоринов Г.Н. Определение степени независимости отсчетов случайных процессов // Реєстрація, зберігання і оброб. даних.-2005.-Т.7.-№ 4.-С.
5. Брягин О.В., Егоров А.К., Розоринов Г.Н. Об оценке многомерных функций распределения вероятностей речевых сигналов // Реєстрація, зберігання і оброб. даних.-2004.-Т.6.-№ 3.-С.41-49.
6. Мирский Г.Я. Аппаратурное определение характеристик случайных процессов.- М.: Энергия, 1972. - 456 с.